



Hamiltonian有效场论（HEFT）中的分波混合

报告人：李严

合作者：吴佳俊 Curtis D. Abell Derek B. Leinweber Anthony
W. Thomas

2019年10月，于中国格点QCD发展战略研讨会

目录

- 1 Background and Motivation
- 2 HEFT中的分波混合
- 3 运动系中的HEFT
- 4 Summary and Outlook

格点与实验中的可测量及对称性

- 实验：按旋转群 $O(3)$ 不可约表示划分的散射相移 $\delta_l(E)$
- 格点：按格点群 O_h 不可约表示划分的能谱 $E_n(\Gamma, L)$
- O_h 是 $O(3)$ 的子群，不可约表示将有如下约化

$$0^+ = \mathbf{A}_1^+$$

$$1^- = \mathbf{T}_1^-$$

$$2^+ = \mathbf{E}^+ \oplus \mathbf{T}_2^+$$

$$3^- = \mathbf{A}_2^- \oplus \mathbf{T}_1^- \oplus \mathbf{T}_2^-$$

$$4^+ = \mathbf{A}_1^+ \oplus \mathbf{E}^+ \oplus \mathbf{T}_1^+ \oplus \mathbf{T}_2^+$$

- 相移与能谱之间应当存在联系，这种联系应遵从这个约化
- 分波混合：无穷体积下退耦的分波，在有限体积下存在耦合

Lüscher公式

- Lüscher公式：相移与能谱间存在模型无关的联系(忽略指数小项)
- 用角动量截断 l_{cut} 忽略高分波贡献($l > l_{\text{cut}}$)
- 在最简单的情况下，其将是一个1-1的公式
 - $l_{\text{cut}} = 0: E_n^{\text{lat}}(\mathbf{A}_1^+, L) = 100 \text{ MeV} \rightarrow \delta_0(100 \text{ MeV})$
- 更一般的情况下，不再是1-1了
 - $l_{\text{cut}} = 4: E_n^{\text{lat}}(\mathbf{A}_1^+, L) = 100 \text{ MeV} \rightarrow f[\delta_0(100 \text{ MeV}), \delta_4(100 \text{ MeV})] = 0$
 - 需要多个相同能量的能级才能联立求解出这些相移
- 找到多个相同能量的能级是很难的
- 更可行的是：将不同能量的能级联系起来 \rightarrow 参数化与拟合
- 最直接的方法：参数化相移
- HEFT：参数化势能

M. Lüscher:

Commun. Math. Phys., 105:153-188, 1986.

Commun. Math. Phys., 104:177, 1986.

Nucl. Phys., B354:531-578, 1991.

什么是HEFT及HEFT的现状

• 什么是HEFT

- 无穷体积Hamiltonian: $\hat{H} = \hat{H}_0 + \hat{V} \xrightarrow{\text{散射方程}} \text{散射相移}$
- 有限体积Hamiltonian: $\hat{H}_L = \hat{H}_{0L} + \hat{V}_L \xrightarrow{\text{矩阵本征值问题}} \text{能谱}$
- \hat{V} 与 \hat{V}_L 存在联系, 可被同一组参数参数化
- 拟合能谱确定参数, 预言相移

• HEFT的现状

- 之前只被应用于低分波情形, 那种情况下矩阵维数可以被大幅降低
- 这里给出了一般情况下约化矩阵维数的一套方案
- 并且将简要介绍HEFT如何应用于运动系

目录

- 1 Background and Motivation
- 2 HEFT中的分波混合
- 3 运动系中的HEFT
- 4 Summary and Outlook

无穷体积下的势能

- 平面波态基: $|\mathbf{k}\rangle$
- 遵从旋转群表示的基: $|k; l, m\rangle := \int d\Omega_{\hat{\mathbf{k}}} Y_{lm}(\hat{\mathbf{k}}) |\mathbf{k}\rangle$
- 旋转不变性只允许这样的相互作用: $|k'; l, m\rangle \langle k; l, m|$
- Wigner-Eckart 定理 \rightarrow 不同的 m 对应相同的 v_l

$$\hat{V} = \int \frac{k'^2 dk'}{(2\pi)^3} \int \frac{k^2 dk}{(2\pi)^3} \sum_{l,m} v_l(k', k) |k'; l, m\rangle \langle k; l, m|$$

势能的有限体积化

$$\hat{V} = \int \frac{k'^2 dk'}{(2\pi)^3} \int \frac{k^2 dk}{(2\pi)^3} \sum_{l,m} v_l(k', k) |k'; l, m\rangle \langle k; l, m|$$

• $\mathbf{k} \rightarrow \frac{2\pi}{L} \mathbf{n} \quad \int_0^\infty \frac{k^2 dk}{(2\pi)^3} \rightarrow \sum_{N=0}^\infty \quad N \text{ denotes } |\mathbf{n}|^2$

• $v_l(k', k) \rightarrow \tilde{v}_l(k_{N'}, k_N) := \frac{v_l(k_{N'}, k_N)}{4\pi L^3} \quad k_N \text{ denotes } \frac{2\pi}{L} \sqrt{N}$

• $|k; l, m\rangle := \int d\Omega_{\hat{\mathbf{k}}} Y_{lm}(\hat{\mathbf{k}}) |\mathbf{k}\rangle$
 $\implies |N; l, m\rangle := \sqrt{4\pi} \sum_{|\mathbf{n}|^2=N} Y_{lm}(\hat{\mathbf{n}}) |\mathbf{n}\rangle$

$$\hat{V}_L = \sum_{N'} \sum_N \sum_{l,m} \tilde{v}_l(k_{N'}, k_N) |N'; l, m\rangle \langle N; l, m|$$

势能的有限体积化

$$\hat{V} = \int \frac{k'^2 dk'}{(2\pi)^3} \int \frac{k^2 dk}{(2\pi)^3} \sum_{l,m} v_l(k', k) |k'; l, m\rangle \langle k; l, m|$$

• $\mathbf{k} \rightarrow \frac{2\pi}{L} \mathbf{n} \quad \int_0^\infty \frac{k^2 dk}{(2\pi)^3} \rightarrow \sum_{N=0}^\infty \quad N \text{ denotes } |\mathbf{n}|^2$

• $v_l(k', k) \rightarrow \tilde{v}_l(k_{N'}, k_N) := \frac{v_l(k_{N'}, k_N)}{4\pi L^3} \quad k_N \text{ denotes } \frac{2\pi}{L} \sqrt{N}$

• $|k; l, m\rangle := \int d\Omega_{\hat{\mathbf{k}}} Y_{lm}(\hat{\mathbf{k}}) |\mathbf{k}\rangle$

$$\implies |N; l, m\rangle := \sqrt{4\pi} \sum_{|\mathbf{n}|^2=N} Y_{lm}(\hat{\mathbf{n}}) |\mathbf{n}\rangle$$

$$\hat{V}_L = \sum_{N'} \sum_N \sum_{l,m} \tilde{v}_l(k_{N'}, k_N) |N'; l, m\rangle \langle N; l, m|$$

势能的有限体积化

$$\hat{V} = \int \frac{k'^2 dk'}{(2\pi)^3} \int \frac{k^2 dk}{(2\pi)^3} \sum_{l,m} v_l(k', k) |k'; l, m\rangle \langle k; l, m|$$

• $\mathbf{k} \rightarrow \frac{2\pi}{L} \mathbf{n} \quad \int_0^\infty \frac{k^2 dk}{(2\pi)^3} \rightarrow \sum_{N=0}^\infty \quad N \text{ denotes } |\mathbf{n}|^2$

• $v_l(k', k) \rightarrow \tilde{v}_l(k_{N'}, k_N) := \frac{v_l(k_{N'}, k_N)}{4\pi L^3} \quad k_N \text{ denotes } \frac{2\pi}{L} \sqrt{N}$

• $|k; l, m\rangle := \int d\Omega_{\hat{\mathbf{k}}} Y_{lm}(\hat{\mathbf{k}}) |\mathbf{k}\rangle$
 $\implies |N; l, m\rangle := \sqrt{4\pi} \sum_{|\mathbf{n}|^2=N} Y_{lm}(\hat{\mathbf{n}}) |\mathbf{n}\rangle$

$$\hat{V}_L = \sum_{N'} \sum_N \sum_{l,m} \tilde{v}_l(k_{N'}, k_N) |N'; l, m\rangle \langle N; l, m|$$

分波是如何混合的

$$\hat{V}_L = \sum_{N'} \sum_N \sum_{l,m} \tilde{v}_l(k_{N'}, k_N) |N'; l, m\rangle \langle N; l, m|$$

- 有限体积下, (l, m) 不再是一个好量子数
- $|N; l, m\rangle$ 遵从 $O(3)$ 的不可约表示, 因此有 O_h 不可约表示的成分

$$\mathbf{0}^+ = \mathbf{A}_1^+$$

$$\mathbf{1}^- = \mathbf{T}_1^-$$

$$\mathbf{2}^+ = \mathbf{E}^+ \oplus \mathbf{T}_2^+$$

$$\mathbf{3}^- = \mathbf{A}_2^- \oplus \mathbf{T}_1^- \oplus \mathbf{T}_2^-$$

$$\mathbf{4}^+ = \mathbf{A}_1^+ \oplus \mathbf{E}^+ \oplus \mathbf{T}_1^+ \oplus \mathbf{T}_2^+$$

- v_l 耦合于这些成分, 进而耦合于对应表示下的能谱

分波是如何混合的

- 无穷体积下的态 $|k; l, m\rangle$ 是相互正交的

$$\langle k; l', m' | k; l, m \rangle \propto \int d\Omega_{\hat{\mathbf{k}}} Y_{l'm'}^*(\hat{\mathbf{k}}) Y_{lm}(\hat{\mathbf{k}}) = \delta_{l', l} \delta_{m', m}$$

- 但有限体积下的这些态 $|N; l, m\rangle$ 却不是

$$\langle N; l', m' | N; l, m \rangle = 4\pi \sum_{|\mathbf{n}|^2=N} Y_{l'm'}^*(\hat{\mathbf{n}}) Y_{lm}(\hat{\mathbf{n}})$$

- 有着不同 (l, m) 的 $|N; l, m\rangle$ 可能具有重叠的成分，即分波混合

P矩阵：衡量分波混合的程度

- $[P_N]_{l',m';l,m} := \langle N; l', m' | N; l, m \rangle = 4\pi \sum_{|\mathbf{n}|^2=N} Y_{l'm'}^*(\hat{\mathbf{n}}) Y_{lm}(\hat{\mathbf{n}})$
- $[P_N]_{0,0;0,0} = \langle N; 0, 0 | N; 0, 0 \rangle = \sum_{|\mathbf{n}|^2=N} \mathbf{1} = C_3(N)$
- 旋转对称性的恢复:

$$L \rightarrow \infty \text{ with } \frac{2\pi}{L} \sqrt{N} \text{ fixed} \implies N \rightarrow \infty$$

$$\sum_{|\mathbf{n}|^2=N} \rightarrow \int d\Omega \implies [P_N]_{l',m';l,m} \rightarrow C_3(N) \delta_{l',l} \delta_{m',m}$$

P矩阵：衡量分波混合的程度

s-wave					p-wave				d-wave					f-wave					g-wave												
1.00	0	0	0	0	0	0	0	0	0	0	0	0	0	0	0	0	0	0	0	0	0	1.05	0	0	0	0	1.75	0	0	0	1.05
0	1.00	0	0	0	0	0	0	0	0	0	0	0	0	-0.94	0	0	0	-1.21	0	0	0	0	0	0	0	0	0	0	0	0	
0	0	1.00	0	0	0	0	0	0	0	0	0	0	0	0	1.53	0	0	0	0	0	0	0	0	0	0	0	0	0	0	0	
0	0	0	1.00	0	0	0	0	0	0	0	-1.21	0	0	0	-0.94	0	0	0	0	0	0	0	0	0	0	0	0	0	0	0	
0	0	0	0	1.25	0	0	0	1.25	0	0	0	0	0	0	0	0	0	0	0	-1.08	0	0	0	0	-1.08	0	0	0	0	0	
0	0	0	0	0	0	0	0	0	0	0	0	0	0	0	0	0	0	0	0	0	0	0	0	0	0	0	0	0	0	0	
0	0	0	0	0	0	2.50	0	0	0	0	0	0	0	0	0	0	0	0	0	-1.17	0	0	0	1.40	0	0	0	0	-1.17	0	
0	0	0	0	0	0	0	0	0	0	0	0	0	0	0	0	0	0	0	0	0	0	0	0	0	0	0	0	0	0	0	
0	0	0	0	1.25	0	0	0	1.25	0	0	0	0	0	0	0	0	0	0	0	0	0	0	0	-1.08	0	0	0	-1.08	0	0	
0	0	0	-1.21	0	0	0	0	0	0	1.46	0	0	0	0	1.13	0	0	0	0	0	0	0	0	0	0	0	0	0	0	0	
0	0	0	0	0	0	0	0	0	0	0	0	0	0	0	0	0	0	0	0	0	0	0	0	0	0	0	0	0	0	0	
0	-0.94	0	0	0	0	0	0	0	0	0	0	0	0	0.88	0	0	0	1.13	0	0	0	0	0	0	0	0	0	0	0	0	
0	0	1.53	0	0	0	0	0	0	0	0	0	0	0	0	2.33	0	0	0	0	0	0	0	0	0	0	0	0	0	0	0	
0	0	0	-0.94	0	0	0	0	0	0	0	1.13	0	0	0	0.88	0	0	0	0	0	0	0	0	0	0	0	0	0	0	0	
0	0	0	0	0	0	0	0	0	0	0	0	0	0	0	0	0	0	0	0	0	0	0	0	0	0	0	0	0	0	0	
0	0	0	0	0	0	0	0	0	0	0	0	0	0	0	0	0	0	0	0	0	0	0	0	0	0	0	0	0	0	0	
0	-1.21	0	0	0	0	0	0	0	0	0	0	0	1.13	0	0	0	1.46	0	0	0	0	0	0	0	0	0	0	0	0	0	
1.05	0	0	0	0	0	-1.17	0	0	0	0	0	0	0	0	0	0	1.64	0	0	0	0	1.64	0	0	0	1.18	0	0	0	1.64	
0	0	0	0	0	0	0	0	0	0	0	0	0	0	0	0	0	0	0	0	0	0	0	0	0	0	0	0	0	0	0	
0	0	0	0	-1.08	0	0	0	-1.08	0	0	0	0	0	0	0	0	0	0	0	0	0	0	0	0.94	0	0	0	0.94	0	0	
0	0	0	0	0	0	0	0	0	0	0	0	0	0	0	0	0	0	0	0	0	0	0	0	0	0	0	0	0	0	0	
1.75	0	0	0	0	0	1.40	0	0	0	0	0	0	0	0	0	0	0	0	0	0	0	0	0	0	0	3.84	0	0	0	1.18	
0	0	0	0	0	0	0	0	0	0	0	0	0	0	0	0	0	0	0	0	0	0	0	0	0	0	0	0	0	0	0	
0	0	0	0	-1.08	0	0	0	-1.08	0	0	0	0	0	0	0	0	0	0	0	0	0	0	0	0	0	0	0	0	0	0	
0	0	0	0	0	0	0	0	0	0	0	0	0	0	0	0	0	0	0	0	0	0	0	0	0	0	0	0	0	0	0	
1.05	0	0	0	0	0	-1.17	0	0	0	0	0	0	0	0	0	0	0	0	0	0	0	0	0	0	0	1.18	0	0	0	0	

$$[P_{N=1}] / C_3(1) \qquad C_3(1) = 6$$

$$[P_N]_{l',m';l,m} := \langle N; l', m' | N; l, m \rangle = 4\pi \sum_{|\mathbf{n}|^2=N} Y_{l'm'}^*(\mathbf{\hat{n}}) Y_{lm}(\mathbf{\hat{n}})$$

25 × 25 matrix ordered as $(l, m) = (0, 0), (1, -1), (1, 0), (1, 1), \dots, (4, 4)$

P矩阵：衡量分波混合的程度

s-wave					p-wave					d-wave					f-wave					g-wave																			
1.00	0	0	0	0	0	0	0	0	0	0	0	0	0	0	0	0	0	0	0	0	0	0	0	0	0.07	0	0	0	0	0.11	0	0	0	0	0.07	0	0	0	0
0	1.00	0	0	0	0	0	0	0	0	0	0	0	0	0	0	0	0	0	0	0	0	0	0	0	0	0	0	0	0	0	0	0	0	0	0	0	0	0	0
0	0	1.00	0	0	0	0	0	0	0	0	0	0	0	0	0	0	0	0	0	0	0	0	0	0	0	0	0	0	0	0	0	0	0	0	0	0	0	0	0
0	0	0	1.00	0	0	0	0	0	0	0	0	0	0	0	0	0	0	0	0	0	0	0	0	0	0	0	0	0	0	0	0	0	0	0	0	0	0	0	0
0	0	0	0	1.02	0	0	0	0	0.08	0	0	0	0	0	0	0	0	0	0	0	0	0	0	0	0	0	0	0	0	0	0	0	0	0	-0.07	0	0	0	-0.09
0	0	0	0	0	0.94	0	0	0	0	0	0	0	0	0	0	0	0	0	0	0	0	0	0	0	0	0	0	0	0	0	0	0	0	0	0	0	0	0	0.03
0	0	0	0	0	0	1.10	0	0	0	0	0	0	0	0	0	0	0	0	0	0	0	0	0	0	0	0	0	0	0	-0.09	0	0	0	0	0.10	0	0	0	-0.09
0	0	0	0	0	0	0	0.94	0	0	0	0	0	0	0	0	0	0	0	0	0	0	0	0	0	0	0	0	0	0	0.03	0	0	0	0	0	0	0	0	-0.01
0	0	0	0	0	0.08	0	0	0	1.02	0	0	0	0	0	0	0	0	0	0	0	0	0	0	0	0	0	0	0	0	-0.09	0	0	0	-0.07	0	0	0	0	0
0	0	0	-0.08	0	0	0	0	0	0	1.03	0	0	0	0	0	0	0	0	0	0	0	0	0	0	0	0	0	0	0	0	0	0	0	0	0	0	0	0	0
0	0	0	0	0	0	0	0	0	0	0	0.94	0	0	0	0	0	0	0	0	0	0	0	0	0	0	0	0	0	0	0	0	0	0	0	0	0	0	0	0
0	-0.06	0	0	0	0	0	0	0	0	0	0	0.98	0	0	0	0	0	0	0	0	0	0	0	0	0	0	0	0	0	0.09	0	0	0	0	0	0	0	0	0
0	0	0.10	0	0	0	0	0	0	0	0	0	0	1.10	0	0	0	0	0	0	0	0	0	0	0	0	0	0	0	0	0	0	0	0	0	0	0	0	0	0
0	0	0	-0.06	0	0	0	0	0	0	0.09	0	0	0	0.98	0	0	0	0	0	0	0	0	0	0	0	0	0	0	0	0	0	0	0	0	0	0	0	0	0
0	0	0	0	0	0	0	0	0	0	0	-0.03	0	0	0	0.94	0	0	0	0	0	0	0	0	0	0	0	0	0	0	0	0	0	0	0	0	0	0	0	0
0	-0.08	0	0	0	0	0	0	0	0	0	0	0	0	0	0	0.09	0	0	0	0	0	0	0	0	1.03	0	0	0	0	0	0	0	0	0	0	0	0	0	0
0.07	0	0	0	0	0	0	-0.09	0	0	0	0	0	0	0	0	0	0	0	0	0	0	0	0	0	0	1.04	0	0	0	0.11	0	0	0	0	0.20	0	0	0	0
0	0	0	0	0	0	0	0	0.03	0	0	0	0	0	0	0	0	0	0	0	0	0	0	0	0	0	0	0.93	0	0	0	0	0	0	0	0	-0.04	0	0	0
0	0	0	0	0	-0.07	0	0	-0.09	0	0	0	0	0	0	0	0	0	0	0	0	0	0	0	0	0	0	1.03	0	0	0	0	0	0	0	0	0	0.08	0	0
0	0	0	0	0	0	-0.01	0	0	0	0	0	0	0	0	0	0	0	0	0	0	0	0	0	0	0	0	0	0.85	0	0	0	0	0	-0.04					
0.11	0	0	0	0	0	0	0.10	0	0	0	0	0	0	0	0	0	0	0	0	0	0	0	0	0	0.11	0	0	0	0	1.30	0	0	0	0	0	0	0	0	0.11
0	0	0	0	0	0	0	-0.01	0	0	0	0	0	0	0	0	0	0	0	0	0	0	0	0	0	0	-0.04	0	0	0	0	0.85	0	0	0	0	0	0	0	0
0	0	0	0	0	-0.09	0	0	-0.07	0	0	0	0	0	0	0	0	0	0	0	0	0	0	0	0	0	0	0.08	0	0	0	0	1.03	0	0	0	0	0	0	0
0	0	0	0	0	0	0.03	0	0	0	0	0	0	0	0	0	0	0	0	0	0	0	0	0	0	0	0	0	-0.04	0	0	0	0	0	0.93					
0.07	0	0	0	0	0	0	-0.09	0	0	0	0	0	0	0	0	0	0	0	0	0	0	0	0	0	0.20	0	0	0	0	0.11	0	0	0	0	1.04	0	0	0	0

$$[P_{N=581}] / C_3(581) \quad C_3(581) = 336$$

$$[P_N]_{l', m'; l, m} := \langle N; l', m' | N; l, m \rangle = 4\pi \sum_{|\mathbf{n}|^2=N} Y_{l'm'}^*(\hat{\mathbf{n}}) Y_{lm}(\hat{\mathbf{n}})$$

25 × 25 matrix ordered as $(l, m) = (0, 0), (1, -1), (1, 0), (1, 1), \dots, (4, 4)$

P矩阵：衡量分波混合的程度

s-wave					p-wave					d-wave					f-wave					g-wave														
1.00	0	0	0	0	0	0	0	0	0	0	0	0	0	0	0	0	0	0	0	-0.01	0	0	0	-0.02	0	0	0	-0.01						
0	1.00	0	0	0	0	0	0	0	0	0	0	0.01	0	0	0	0	0.02	0	0	0	0	0	0	0	0	0	0	0						
0	0	1.00	0	0	0	0	0	0	0	0	0	0	-0.02	0	0	0	0	0	0	0	0	0	0	0	0	0	0	0						
0	0	0	1.00	0	0	0	0	0	0	0.02	0	0	0	0	0.01	0	0	0	0	0	0	0	0	0	0	0	0	0	0					
0	0	0	0	1.00	0	0	0	-0.02	0	0	0	0	0	0	0	0	0	0	0	0	0	0	0.01	0	0	0	0.02	0	0					
0	0	0	0	0	1.01	0	0	0	0	0	0	0	0	0	0	0	0	0	0	0	0	0	0.00	0	0	0	-0.00	0	0					
0	0	0	0	0	0	0.98	0	0	0	0	0	0	0	0	0	0	0	0	0	0	0	0.02	0	0	-0.02	0	0	0	0.02					
0	0	0	0	0	0	0	1.01	0	0	0	0	0	0	0	0	0	0	0	0	0	0	-0.00	0	0	0	0.00	0	0	0					
0	0	0	0	-0.02	0	0	0	1.00	0	0	0	0	0	0	0	0	0	0	0	0	0	0	0.02	0	0	0	0	0.01	0	0				
0	0	0	0.02	0	0	0	0	0	0.99	0	0	0	-0.02	0	0	0	0	0	0	0	0	0	0	0	0	0	0	0	0	0				
0	0	0	0	0	0	0	0	0	0	1.01	0	0	0	0.00	0	0	0	0	0	0	0	0	0	0	0	0	0	0	0	0	0			
0	0.01	0	0	0	0	0	0	0	0	0	1.00	0	0	0	-0.02	0	0	0	0	0	0	0	0	0	0	0	0	0	0	0	0			
0	0	-0.02	0	0	0	0	0	0	0	0	0	0.98	0	0	0	0	0	0	0	0	0	0	0	0	0	0	0	0	0	0	0			
0	0	0	0.01	0	0	0	0	0	-0.02	0	0	0	1.00	0	0	0	0	0	0	0	0	0	0	0	0	0	0	0	0	0	0	0		
0	0	0	0	0	0	0	0	0	0	0.00	0	0	0	0	0	0	0	0	0	0	0	0	0	0	0	0	0	0	0	0	0	0		
0	0.02	0	0	0	0	0	0	0	0	0	-0.02	0	0	0	0	0	0	0	0	0	0	0	0	0	0	0	0	0	0	0	0	0		
-0.01	0	0	0	0	0	0	0	0	0	0	0	0	0	0	0	0	0	0	0	0	0.99	0	0	0	0	0	0	0	0	0	0	-0.03		
0	0	0	0	0	0	0	0	-0.00	0	0	0	0	0	0	0	0	0	0	0	0	0	0	0	0	0	0	0	0	0	0	0	0	0	
0	0	0	0	0.01	0	0	0	0	0	0	0	0	0	0	0	0	0	0	0	0	0	0	0	0	0	0	0	0	0	0	0	0	0	
0	0	0	0	0	0.00	0	0	0	0	0	0	0	0	0	0	0	0	0	0	0	0	0	0	0	0	0	0	0	0	0	0	0	0	
-0.02	0	0	0	0	0	-0.02	0	0	0	0	0	0	0	0	0	0	0	0	0	0	0	-0.02	0	0	0	0.95	0	0	0	0	0	0	-0.02	
0	0	0	0	0	0	0	0.00	0	0	0	0	0	0	0	0	0	0	0	0	0	0	0	0.00	0	0	0	1.02	0	0	0	0	0	0	
0	0	0	0	0.02	0	0	0	0.01	0	0	0	0	0	0	0	0	0	0	0	0	0	0	0	-0.01	0	0	0	0	0	0	0	0	0	
0	0	0	0	0	-0.00	0	0	0	0	0	0	0	0	0	0	0	0	0	0	0	0	0	0	0	0	0	0	0	0	0	0	0	0	
-0.01	0	0	0	0	0	0.02	0	0	0	0	0	0	0	0	0	0	0	0	0	0	0	-0.03	0	0	0	-0.02	0	0	0	0	0	0	0	0.99

$$[P_{N=941}] / C_3(941) \quad C_3(941) = 552$$

$$[P_N]_{l',m';l,m} := \langle N; l', m' | N; l, m \rangle = 4\pi \sum_{|\mathbf{n}|^2=N} Y_{l'm'}^*(\hat{\mathbf{n}}) Y_{lm}(\hat{\mathbf{n}})$$

25 × 25 matrix ordered as $(l, m) = (0, 0), (1, -1), (1, 0), (1, 1), \dots, (4, 4)$

P矩阵：衡量分波混合的程度

- P矩阵也遵从格点对称性
- $m \rightarrow (\Gamma, f, \alpha) \implies |N; l, m\rangle \rightarrow |N, l; \Gamma, f, \alpha\rangle$

$$|N, l; \Gamma, f, \alpha\rangle = \sum_m [C_l]_{\Gamma, f, \alpha; m} |N; l, m\rangle$$

- 通过一个幺正变换得到新基下的内积矩阵
 - 幺正变换矩阵: $[C] = \text{diag}([C_0], [C_1], \dots)$
 - 新矩阵将按照 O_h 不可约表示分块对角化

$$[C][P_N][C]^\dagger \rightarrow \delta_{\Gamma', \Gamma} \delta_{\alpha', \alpha} \langle N, l'; \Gamma, f', \alpha | N, l; \Gamma, f, \alpha \rangle$$

Hamiltonian矩阵维数的约化

- Original basis $|\mathbf{n}\rangle$: $\sum_{N=0}^{N_{\text{cut}}=600} C_3(N) \sim 60,000$
- Basis $|N; l, m\rangle$ with $l_{\text{cut}} = 4$: $\sum_{N=0}^{600} 25 \sim 600 \times 25$
- Basis $|N, l; \Gamma = \mathbf{A}_1^+, f, \alpha\rangle$: $\sum_{N=0}^{600} 2 \sim 600 \times 2$
- Orthonormalization needs the inner products——P-Matrix

例子：同位旋-2的 $\pi\pi$ 散射(过程)

- $l_{\text{cut}} = 4$, only s-, d- and g-waves are present
- Separable potential model:

$$v_l(p, k) = f_l(p)G_l f_l(k)$$

$$f_l(k) \sim \frac{(d_l \times k)^l}{(1 + (d_l \times k)^2)^{l/2+2}}$$

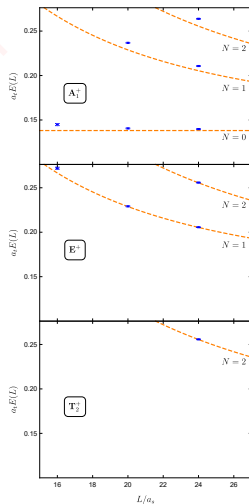
- 6 parameters: $G_0, G_2, G_4, d_0, d_2, d_4$
- Dimensions of Hamiltonians ($N_{\text{cut}} = 600$):

$$\mathbf{A}_1^+ : 923 \quad \mathbf{E}^+ : 965 \quad \mathbf{T}_2^+ : 963$$

- The fitted data: 11 energy levels

PRD 86, 034031 (2012)

Jozef J. Dudek et al.



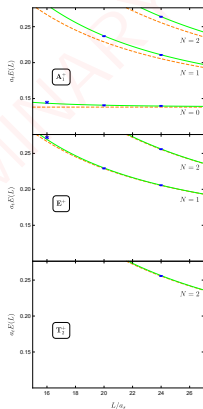
例子：同位旋-2的 $\pi\pi$ 散射(结果)

Components of eigenstates

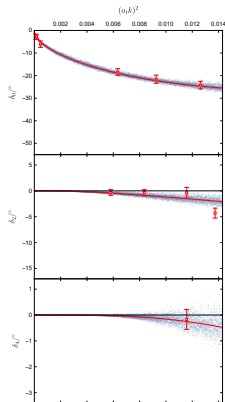
\mathbf{A}_1^+	$N=0$	$N=1$	$N=2$	$N=3$	$N=4$...
1st	99.7	0.2	0.0	0.0	0.0	...
2nd	0.1	97.4	1.9	0.2	0.0	...
3rd	0.0	1.5	94.5	2.8	0.3	...

- Fitting \rightarrow Parameters $\rightarrow \hat{H}$ and \hat{H}_L
- $\hat{H} \rightarrow \delta_l(E)$
- $\hat{H}_L \rightarrow E_n(\Gamma, L)$
- $\hat{H}_L \rightarrow$ Eigenstates

Volume dependent spectra



Phase shifts with errors



目录

- 1 Background and Motivation
- 2 HEFT中的分波混合
- 3 运动系中的HEFT**
- 4 Summary and Outlook

运动系HEFT?

- 模型无关性是如何得到的

- 从无穷体积到有限体积: $\int \frac{d^3\mathbf{k}}{(2\pi)^3} \rightarrow L^{-3} \sum_{\mathbf{k}}$
- 无穷和有限体积体系的差异: $\left(\int \frac{d^3\mathbf{k}}{(2\pi)^3} - L^{-3} \sum_{\mathbf{k}} \right) f(\mathbf{k})$
- 性质良好的函数, 积分可被求和逼近, 即求和减积分是可忽略小项
- $f(\mathbf{k})$ 只有奇异的部分是重要的, 场论的奇异性主要在on-shell点
- 模型依赖性往往被包含在非奇异的部分中 \rightarrow 模型无关的联系

C.H. Kim et al:
Nucl. Phys., B727:218-243, 2005.

- 运动系HEFT是如何得到的

- 静止系的无穷体积相移 \rightarrow 静止系积分: $\int d\mathbf{k}_c f_c(\mathbf{k}_c)$
- 运动系的有限体积能谱 \rightarrow 运动系求和: $\sum_{\mathbf{k}_m} f_m(\mathbf{k}_m)$
- $\int d\mathbf{k}_c f_c(\mathbf{k}_c) - \sum_{\mathbf{k}_m} f_m(\mathbf{k}_m) \xrightarrow{???} \left(\int d\mathbf{k} - \sum_{\mathbf{k}} \right) f(\mathbf{k})$
- 联系静止系与运动系 \rightarrow Boost:4-动量 \rightarrow 3-动量Boost有不同的方案
- 存在不同的方案给出相同奇异性的 $f(\mathbf{k})$
- HEFT中, 对于给定的 \hat{V} , 不同的方案给出不同的 \hat{V}_L
- 我们找到了方案使得 \hat{V}_L 能量无关

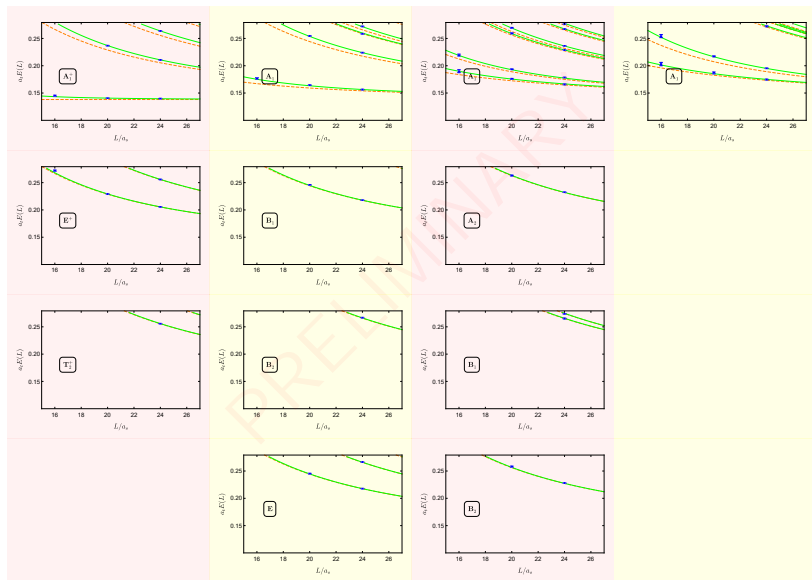
运动系的新特性

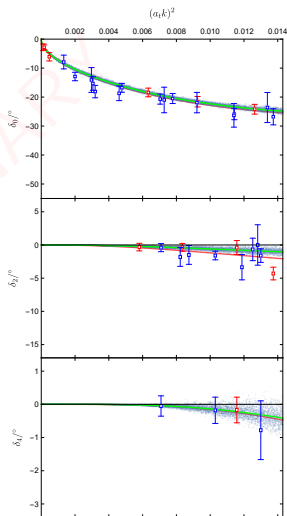
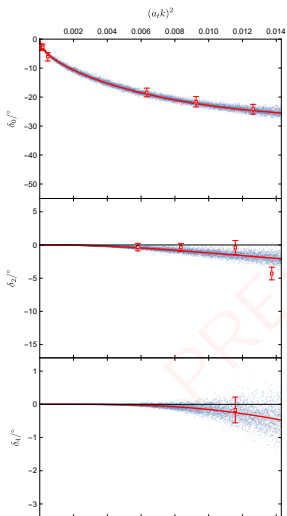
- 自由谱的简并度大大降低, $\mathbf{n}^2 \rightarrow (\mathbf{n}^2, \mathbf{n} \cdot \mathbf{d})$, $\mathbf{P} = \frac{2\pi}{L} \mathbf{d}$ 是总3动量
- 格点群变为 O_h 的小群(与 \mathbf{d} 有关)
- 质量是否相同会影响简并度与对称性
- 分波展开时取 z 方向为 $\hat{\mathbf{d}}$ 而不是Lattice方向是更方便的
 - 此时不同 l 但相同 m 的态是相同的态
 - 直接使用 $O(2)$ 作为无穷体积下的对称群(不等质量时是 $SO(2)$)
 - 虽然简并壳变得非常多, 但很多壳具有相同的 \mathbf{P} 矩阵

例子：运动系下的 $\pi\pi$ 散射(矩阵维数)

Frame: \mathbf{d}	Γ	$N_{\text{cut}} = 100$	$N_{\text{cut}} = 600$
Rest: (0,0,0)	$\mathbf{A}_1^+, \mathbf{E}^+, \mathbf{T}_2^+$	129,145,144	923,965,963
Moving: (0,0,1)	$\mathbf{A}_1, \mathbf{B}_1, \mathbf{B}_2, \mathbf{E}$	308,234,214,448	4102,3158,3064,6222
Moving: (0,1,1)	$\mathbf{A}_1, \mathbf{A}_2, \mathbf{B}_1, \mathbf{B}_2$	558,420,433,417	7772,6516,6625,6518
Moving: (1,1,1)	\mathbf{A}_1	508	7129

- $N_{\text{cut}} = 600$ 对应的矩阵维数是很大的
- 我们已经有一些方案来进一步约化矩阵维数
- 这个例子使用 $N_{\text{cut}} = 100$ 给出的结果足够好了($\Delta\chi^2 < 0.1$)

例子：运动系下的 $\pi\pi$ 散射(体积相依谱)

例子：运动系下的 $\pi\pi$ 散射(相移)

目录

- 1 Background and Motivation
- 2 HEFT中的分波混合
- 3 运动系中的HEFT
- 4 Summary and Outlook

Summary

- HEFT视角下的分波混合
- 定义P矩阵衡量分波混合程度
- 基于此可以约化Hamiltonian矩阵的维数
- 运动系下的HEFT

Outlook

- 研究不同 m_π 的体系，用HEFT做手征外推
- 研究有共振的体系，考察共振参数与共振组分(e.g. $\pi\pi - \rho$)
- 利用共振组分，研究共振的形状因子(e.g. Δ)

ACKNOWLEDGMENTS

Finite-volume energy levels taken from [PRD 86, 034031 (2012), Jozef J. Dudek et al.] were provided by the Hadron Spectrum Collaboration – no endorsement on their part of the analysis presented in the current paper should be assumed.

谢谢!